

669.162.16: 669.162.283: 669.162.263: 669.882

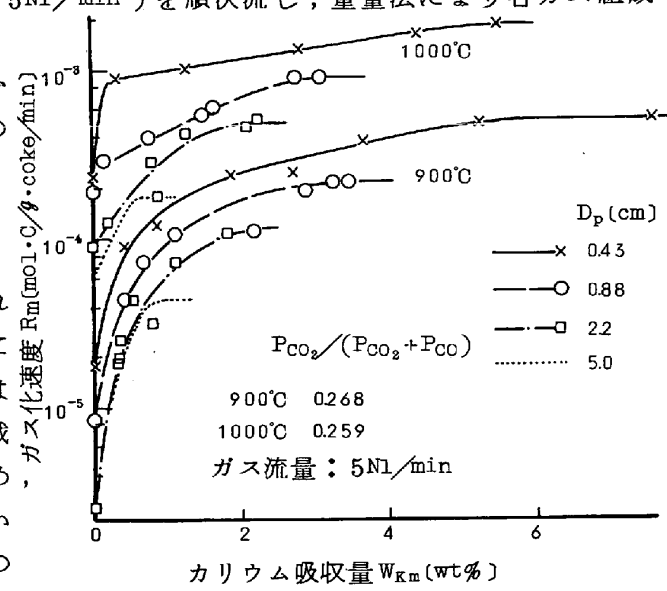
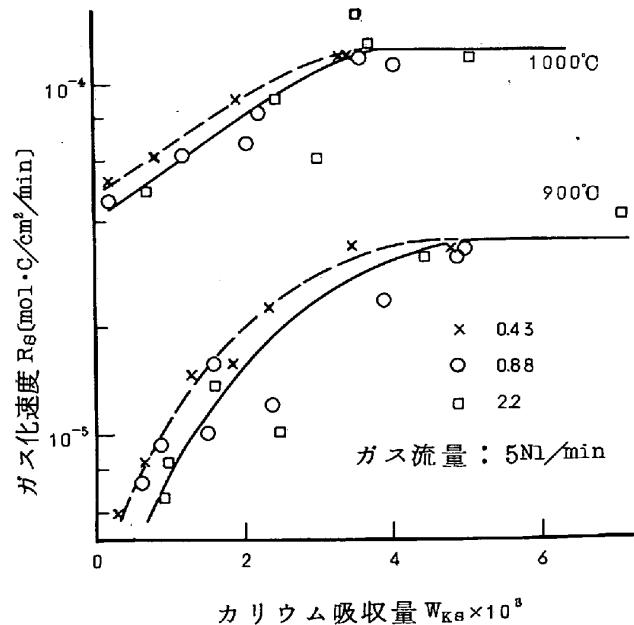
(111) コークスのソルーションロス反応速度におよぼす吸収カリウムの影響 (ソルーションロス反応速度に関する研究-V)

東北大学 選鉱製錬研究所 ○小林三郎 大森康男

I 目的 ソルーションロス反応速度におよぼすコークス中吸収カリウムの影響を、コークス粒度、ガス組成、温度について明らかにする。

II 実験 前報で述べたカリウムの吸収のうち、バスケットを支持台③上に置き、バスB-Aを利用して(前報図1参照)、各種組成の N_2-CO_2-CO 混合ガス($5Nl/min$)を順次流し、重量法により各ガス組成に対するコークスのガス化速度を測定した。

III 実験結果 1) 高炉中のガス組成は、900~1000°Cにおいては、 $FeO+CO=Fe+CO_2$ 平衡に対応しているが¹⁾、この場合に近いガス組成に関するガス化速度 $R_m[mol \cdot C/g \cdot coke/min]$ とカリウム吸収量 $W_{Km}[wt\%]$ との関係を図1に示す。 W_{Km} に関して、 R_m の増大が著しい領域①、比較的緩慢な領域②および停滞する領域③が認められる。しかし、大粒子ほど領域①と②の区別は不明確になる。900と1000°Cにおける R_m の差は、 $W_{Km}=0$ では1オーダ以上で非常に著しいが、900°Cの場合の領域①における R_m の増大が1000°Cの場合より著しいため、 $W_{Km} \geq 1\%$ においては1オーダ以下に縮小する。温度が低いほど、とくに領域①において、カリウムのコークスのガス化促進効果が顕著である。領域③の開始点は、粒度の増大とともに、低値側に移行する。2) 前報によれば、カリウム吸収は粒子の周辺部に著しいため、 W_{Km} の値が同じであっても、大粒子ほど周辺部におけるカリウムの濃度は高いと考えられる。コークス粒子の単位外表面積当りのガス化速度 $R_s[mol \cdot C/cm^2/min]$ と吸収量 $W_{Ks}[g \cdot K/cm^2]$ の関係を図2に示す。900°Cの場合、 W_{Ks} の低値域における R_s の W_{Ks} 依存性は1000°Cの場合より強いことは図1と同様である。 $D_p \geq 0.88\text{cm}$ の試料に関しては、全 W_{Ks} 領域で R_s の粒度依存性は認められない。 $W_{Ks} \geq W_{Ks}^c = 5(900^\circ\text{C})$, $3.5 \times 10^{-6}(1000^\circ\text{C})$ においては、 R_s の粒度依存性はなく、かつ R_s は一定である。 R_s の粒度非依存性は CO_2 の粒内拡散抵抗が化学反応のそれに比して相当大きく、ガス化は粒子の周辺部のみで進行するとを意味する。したがって、粒度 $D_p = 0.43$ と 0.88cm に関する R_s の差は比較的小さいことを考慮すると、 W_{Ks} の増大とともにガス化の局所化は相当著しくなると考えられる。図1に破線で示した曲線は高炉装入コークスの寸法を考慮して、図2から推定したものである。文献 1) 板谷ら: 鉄と鋼, 62(1976), P472

図1 R_m の W_{Km} に対する依存性図2 R_s の W_{Ks} に対する依存性